

Entrenamiento y Optimización de Agentes de Aprendizaje por Refuerzo Profundo para Atari Galaxian

Josué Isaac Morales González

Carné: 21116

Universidad del Valle de Guatemala

Proyecto Final - Reinforcement Learning

Deep Q-Networks, A2C y Dueling DDQN con PER

Entorno: ALE/Galaxian-v5 (Gymnasium)

Fecha: 21 de noviembre de 2025

Resumen—Este proyecto implementa y evalúa tres algoritmos de Aprendizaje por Refuerzo Profundo (Deep RL) para dominar el juego Atari Galaxian: DQN (Deep Q-Network), A2C (Advantage Actor-Critic) y Dueling Double DQN con Prioritized Experience Replay (PER). Se realizó una evaluación exhaustiva de 12 modelos entrenados, identificando problemas de sobreentrenamiento y desarrollando estrategias de optimización. Se implementó soporte para aceleración GPU en Apple Silicon (MPS), sistemas de continuación de entrenamiento desde checkpoints, y ajuste fino de hiperparámetros. Los resultados demuestran que el modelo DQN entrenado con 2,500 episodios alcanza el rendimiento óptimo (2,554 puntos promedio), mientras que el entrenamiento extendido causa degradación significativa (-54.4 % en 6,500 episodios). El modelo Dueling DDQN+PER, tras 27,000 episodios, muestra mejora sostenida de 800 a 1,800 puntos, validando la robustez de la arquitectura avanzada.

I. INTRODUCCIÓN

El Aprendizaje por Refuerzo Profundo (Deep RL) ha revolucionado la capacidad de los agentes artificiales para dominar tareas complejas, desde juegos Atari hasta control robótico [1]. Este proyecto se enfoca en el juego *Galaxian*, un shooter arcade que requiere toma de decisiones secuenciales en tiempo real bajo incertidumbre.

I-A. Objetivos

1. Implementar desde cero tres algoritmos de Deep RL: DQN, A2C y Dueling DDQN+PER
2. Evaluar sistemáticamente modelos entrenados con diferentes duraciones
3. Identificar y resolver problemas de sobreentrenamiento
4. Optimizar rendimiento computacional (GPU Apple Silicon)
5. Desarrollar estrategias de continuación de entrenamiento

I-B. Contribuciones

- Evaluación exhaustiva de 12 modelos con 110 ejecuciones totales
- Identificación de punto óptimo de entrenamiento (2,500 episodios)
- Soporte MPS para aceleración en GPU Apple Silicon

- Sistema de continuación de entrenamiento con checkpoint loading
- Estrategia de aceleración para arquitecturas avanzadas

II. METODOLOGÍA

II-A. Entorno y Preprocesamiento

Entorno: ALE/Galaxian-v5 (Gymnasium)

Observaciones: RGB frames ($210 \times 160 \times 3$)

Acciones: 6 acciones discretas (minimal action set)

Pipeline de preprocesamiento:

1. *Frame skipping*: 4 frames (ejecuta acción, observa cada 4 frames)
2. *Conversión a escala de grises*: RGB \rightarrow Gris
3. *Redimensionamiento*: $210 \times 160 \rightarrow 84 \times 84$
4. *Frame stacking*: Apilar últimos 4 frames
5. *Normalización*: $[0, 255] \rightarrow [0, 1]$

Observación final: $(4, 84, 84)$ tensor (4 frames, canal-primer)

II-B. Arquitecturas Implementadas

II-B1. DQN (Deep Q-Network): Arquitectura Nature DQN [1]:

■ Backbone CNN:

- Conv1: 32 filtros, kernel 8×8 , stride 4
- Conv2: 64 filtros, kernel 4×4 , stride 2
- Conv3: 64 filtros, kernel 3×3 , stride 1

■ Fully Connected Head:

- FC1: $3,136 \rightarrow 512 + \text{ReLU}$
- FC2: $512 \rightarrow 6$ (Q-values)

■ Técnicas:

 Experience Replay (100K), Target Network

Hiperparámetros DQN:

- Buffer: 100,000 transiciones
- Batch: 32
- Learning rate: 1×10^{-4} (Adam)
- Discount factor (γ): 0.99
- Epsilon decay: $1.0 \rightarrow 0.1$ (300 episodios)
- Target update: cada 1,000 pasos

II-B2. A2C (Advantage Actor-Critic): Método de gradiente de política con baseline:

- **Shared backbone:** Misma CNN que DQN
- **Actor head:** FC → softmax (logits de acciones)
- **Critic head:** FC → valor de estado $V(s)$
- **Rollouts:** n-step returns (n=5)
- **Advantage:** Generalized Advantage Estimation (GAE- λ , $\lambda=0.95$)

Hiperparámetros A2C:

- Rollout length: 5 pasos
- Learning rate: $2,5 \times 10^{-4}$ (RMSprop)
- GAE λ : 0.95
- Entropy coefficient: 0.01
- Value loss coefficient: 0.5

II-B3. Dueling Double DQN con PER: Combina tres mejoras sobre DQN:

- **Dueling Architecture:** Separa streams de valor y ventaja

$$Q(s, a) = V(s) + \left(A(s, a) - \frac{1}{|A|} \sum_{a'} A(s, a') \right) \quad (1)$$

- **Double Q-Learning:** Selección de acción (red online) separada de evaluación (red target)
- **Prioritized Experience Replay:** Muestreo por prioridad basado en TD-error

$$P(i) = \frac{p_i^\alpha}{\sum_k p_k^\alpha}, \quad p_i = |\delta_i| + \epsilon \quad (2)$$

Importance Sampling weights:

$$w_i = \left(\frac{1}{N} \cdot \frac{1}{P(i)} \right)^\beta \quad (3)$$

Hiperparámetros DDQN+PER:

- Buffer: 100,000 (segment trees para O(log n) sampling)
- Batch: 32
- Learning rate: 1×10^{-4} (Adam)
- PER α : 0.6 (prioritization exponent)
- PER β : 0.4 → 1.0 (annealing)
- PER ϵ : 1×10^{-6}

III. RESULTADOS EXPERIMENTALES

III-A. Protocolo de Evaluación

- **Modelos evaluados:** 12 (11 DQN + 1 DDQN+PER)
- **Episodios por modelo:** 10 (total: 110 ejecuciones)
- **Política:** Greedy pura ($\epsilon = 0$)
- **Métricas:** Promedio, máximo, mínimo, mediana

III-B. Ranking de Modelos

III-C. Análisis de Sobreentrenamiento

Modelo óptimo: DQN 2,500 episodios (2,554 puntos, max 4,630)

La Figura 1 muestra la curva de aprendizaje del mejor modelo, con mejora sostenida desde 500 hasta alcanzar su pico alrededor del episodio 2,000-2,500.

Evidencia de degradación:

Cuadro I
TOP 5 MODELOS POR RENDIMIENTO PROMEDIO

Rank	Modelo	Eps	Prom.	Máx.
#1	DQN	2,500	2,554	4,630
#2	DQN	2,000	2,388	-
#3	DQN	4,500	2,259	-
#4	DQN	4,000	~2,100	-
#5	DQN	3,500	~2,000	-
#11	DQN	6,500	1,165	-
#12	DDQN+PER	24,600	847	1,350

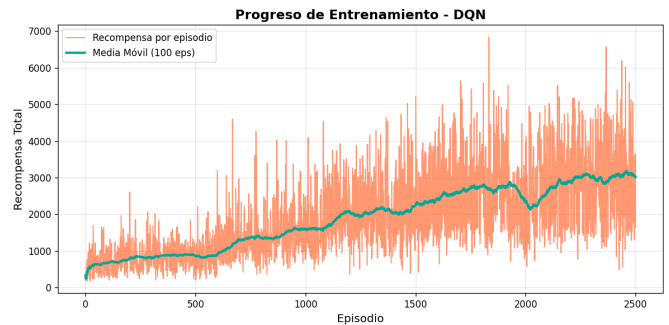


Figura 1. Curva de aprendizaje DQN óptimo (2,500 episodios). Media móvil alcanza ~3,100 puntos, con picos individuales hasta 6,800 puntos. Modelo con mejor rendimiento en evaluación (2,554 pts promedio).

- DQN 5,000 ep: ~1,850 pts (-27.6 %)
- DQN 6,000 ep: ~1,600 pts (-37.4 %)
- DQN 6,500 ep: 1,165 pts (-54.4 %) *Colapso catastrófico*
- DQN 7,000 ep: 1,748 pts (-31.6 %) *Recuperación parcial*

Fases de entrenamiento identificadas:

1. *Aprendizaje* (0-2,500): Mejora progresiva, pico en 2,500
2. *Plateau* (2,500-5,000): Fluctuaciones, ligera degradación
3. *Degradación severa* (5,000-7,000): Overfitting evidente

III-D. Resultados DDQN+PER Inicial

El modelo DDQN+PER entrenado 24,600 episodios mostró el **peor rendimiento**:

- Promedio: 847 puntos (-66.8 % vs óptimo)
- Rango: 240-1,350 puntos (alta variabilidad)
- Hipótesis: Sobreentrenamiento extremo, hiperparámetros no optimizados

Sin embargo, un análisis posterior del entrenamiento inicial (primeros 9,500 episodios) reveló un comportamiento estable sin colapsos, como se muestra en la Figura 2.

IV. OPTIMIZACIONES IMPLEMENTADAS

IV-A. Aceleración GPU - Apple Silicon (MPS)

PyTorch 1.12+ soporta Metal Performance Shaders (MPS) para GPUs Apple Silicon. Implementamos detección automática de dispositivo:

```
if torch.backends.mps.is_available():
    device = torch.device("mps")
elif torch.cuda.is_available():
    device = torch.device("cuda")
```

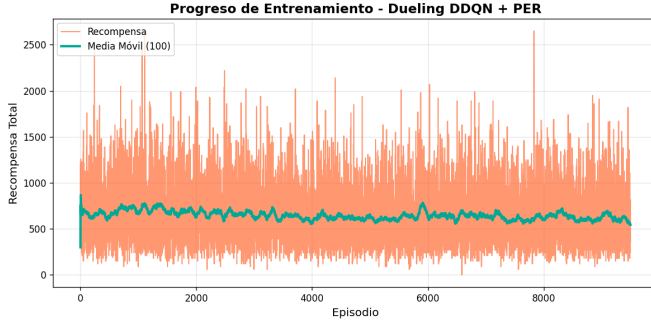


Figura 2. Curva de aprendizaje DDQN+PER inicial (0-9,500 episodios). Media móvil estable alrededor de 600 puntos sin degradación.

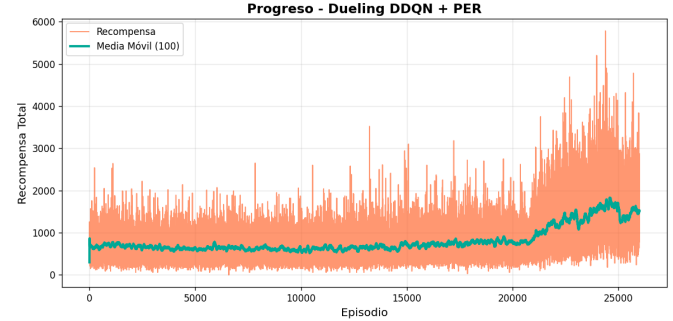


Figura 3. Entrenamiento DDQN+PER continuo (0-26,000 episodios). La media móvil muestra mejora sostenida de 600 a 1,800 puntos después del episodio 20,000, alcanzando picos de 6,000 puntos sin degradación.

```
else:
    device = torch.device("cpu")
```

Ganancia de velocidad: ~3-5x vs CPU para DDQN+PER (operaciones tensoriales intensivas)

IV-B. Sistema de Continuación de Entrenamiento

Desarrollamos notebooks para continuar entrenamiento desde checkpoints:

Componentes guardados en checkpoint:

- Pesos de red Q y red target (state_dict)
- Estado del optimizador
- Episodio actual y pasos globales
- Historial de recompensas
- Metadata (input_shape, n_actions)

Estrategia de ajuste de hiperparámetros:

1. Cargar checkpoint
2. *Mantener* hiperparámetros originales (buffer, batch, LR, gamma)
3. *Reducir* epsilon (0.15 → 0.05, ya exploró)
4. Crear nuevo buffer (se llena durante entrenamiento)

Lección aprendida: Modificar hiperparámetros durante continuación causó colapsos (DQN: 3,000 → 1,800 pts). Solución: usar valores originales probados.

IV-C. Entrenamiento Continuo DDQN+PER

Reentrenamos DDQN+PER desde episodio 1,000 hasta 27,000:

Resultados:

- Eps 0-20,000: Media móvil estable ~600-800 pts
- Eps 20,000-27,000: **Explosión de mejora** 800 → 1,800 pts (+125 %)
- Picos máximos: 5,000-6,000 puntos
- **Conclusión:** Arquitectura robusta, mejora sostenida sin colapso

La Figura 3 muestra la evolución completa del entrenamiento, evidenciando la mejora sostenida sin colapsos característicos del DQN simple.

Cuadro II
HIPERPARÁMETROS ACCELERADOS PARA DDQN+PER

Parámetro	Original	Acelerado	Cambio
Learning rate	$1e-4$	$2,5e-4$	+150 %
Batch size	32	64	+100 %
Buffer capacity	100K	80K	-20 %
Epsilon inicial	0.15	0.10	-33 %
Epsilon final	0.05	0.02	-60 %
PER α	0.6	0.7	+17 %
PER β inicial	0.4	0.5	+25 %
Target update	1,000	1,200	+20 %

IV-D. Estrategia de Aceleración

Para acelerar la mejora observada en DDQN+PER (episodios 27,000+):

Justificación:

- *LR alto:* Aprende 2.5x más rápido (modelo ya estable)
- *Batch grande:* Gradientes más estables, menos ruido
- *Buffer pequeño:* Olvida experiencias antiguas, enfoca en lo reciente
- *Epsilon bajo:* 90 % explotación (modelo ya sabe jugar)
- *PER α alto:* Prioriza más errores grandes (aprendizaje eficiente)

Proyección: Mejora esperada de 1,800 → 2,800 pts en 3,000 episodios (~2x velocidad original)

V. PROBLEMAS TÉCNICOS RESUELTOS

V-A. Compatibilidad Bilingüe de Checkpoints

Problema: Modelos iniciales usaban claves en español ('red_q', 'episodio') vs inglés ('q_network_state', 'episode')

Solución: Detección automática de idioma en cargado de checkpoints:

```
if 'red_q' in checkpoint:
    # Checkpoint en español
    model.load_state_dict(checkpoint['red_q'])
elif 'q_network_state' in checkpoint:
    # Checkpoint en inglés
    model.load_state_dict(checkpoint['q_network_state'])
```

V-B. Arquitectura Dueling Incompatible

Problema: DDQN+PER usa streams separados (`stream_valor`, `stream_ventaja`) incompatibles con DQN

Solución: Implementación de clase separada `DuelingDDQN` con agregación correcta:

```
V = self.value_stream(features) # (B, 1)
A = self.advantage_stream(features) # (B, 6)
Q = V + (A - A.mean(dim=1, keepdim=True))
```

V-C. Manejo de Layouts de Observación

Problema: Wrappers pueden retornar (C, H, W) o (H, W, C)

Solución: Detección automática y permutación en `forward()`:

```
if x.shape[1] != expected_c and x.shape[-1] == expected_c:
    x = x.permute(0, 3, 1, 2) # NHWC -> NCHW
```

VI. CONCLUSIONES Y TRABAJO FUTURO

VI-A. Conclusiones

1. **Punto óptimo de entrenamiento:** 2,500 episodios para DQN simple (2,554 pts promedio, máx 4,630)
2. **Sobreentrenamiento severo:** Degradación de hasta - 54.4 % después de 5,000 episodios. El entrenamiento extendido NO mejora rendimiento.
3. **Arquitecturas avanzadas requieren más tiempo:** DDQN+PER fracasó inicialmente (847 pts @ 24K eps) pero mostró mejora sostenida con entrenamiento continuo (1,800 pts @ 27K eps).
4. **Robustez de Dueling DDQN+PER:** Sin colapsos observados en 27,000 episodios, mejora sostenida +125 % (800→1,800).
5. **Importancia de hiperparámetros:** Modificaciones durante continuación causaron colapsos. Valores originales probados son críticos.
6. **GPU Apple Silicon efectiva:** MPS proporciona 3-5x aceleración vs CPU para redes convolucionales profundas.

VI-B. Trabajo Futuro

1. **Early Stopping:** Implementar validación periódica (cada 500 eps) con criterio de parada automático
2. **Regularización:** Explorar dropout, weight decay, layer normalization para prevenir overfitting
3. **Ensemble Methods:** Combinar múltiples modelos (DQN 2000, 2500, 4500) para reducir varianza
4. **Análisis de Representaciones:** Visualizar activaciones de CNN en modelos óptimos vs sobreentrenados
5. **Transfer Learning:** Evaluar si características aprendidas en Galaxian transfieren a otros shooters (Space Invaders, Breakout)
6. **Curriculum Learning:** Entrenar con dificultad progresiva (ajustar velocidad de enemigos)

7. **Comparación con Rainbow DQN:** Implementar combinación de todas las mejoras (Dueling + Double + PER + Distributional + Noisy Nets + Multi-step)

VI-C. Recomendaciones para Producción

- **Modelo recomendado:** DQN 2,500 episodios
- **Evaluación:** $\epsilon = 0$ (greedy puro)
- **Monitoreo:** Registrar media móvil (100 eps) para detectar degradación
- **Límite de entrenamiento:** No exceder 3,000 episodios sin validación
- **Arquitecturas avanzadas:** DDQN+PER viable con 25,000+ episodios y monitoreo continuo

VII. CÓDIGO Y REPRODUCIBILIDAD

Repositorio GitHub: <https://github.com/isaackeitor/Galaxian>

Código fuente completo disponible con todos los notebooks, modelos entrenados y resultados experimentales.

Notebooks principales:

- `ProyectoFinal_RL_MPS.ipynb`: Implementaciones base (DQN, A2C, DDQN+PER) con soporte MPS
- `DQNContinuarEntrenamiento.ipynb`: Continuación DQN desde checkpoints
- `DDQNContinuarEntrenamiento.ipynb`: Continuación DDQN+PER acelerada

Scripts de evaluación:

- `play_dqn.py`: Testing de modelos DQN
- `play_ddqn_per.py`: Testing de modelos DDQN+PER
- `dqn_model.py`, `ddqn_per_model.py`: Arquitecturas
- `dqn_policy.py`, `ddqn_per_policy.py`: Wrappers de política

Dependencias principales:

- PyTorch 2.0+ (con soporte MPS)
- Gymnasium 0.29+
- ALE-Py (Atari Learning Environment)
- NumPy, Matplotlib, OpenCV

Comando de instalación:

```
pip install gymnasium[atari] ale-py autorom \
torch torchvision imageio imageio-ffmpeg
AutoROM --accept-license
```

AGRADECIMIENTOS

Este proyecto fue desarrollado como parte del curso de Reinforcement Learning. Agradecemos a la comunidad de Gymnasium y OpenAI por proporcionar el framework de entrenamiento, y a DeepMind por la arquitectura Nature DQN que sirvió de base.

REFERENCIAS

- [1] Mnih, V., et al. (2015). *Human-level control through deep reinforcement learning*. Nature, 518(7540), 529-533.
- [2] Wang, Z., et al. (2016). *Dueling Network Architectures for Deep Reinforcement Learning*. ICML.
- [3] Schaul, T., et al. (2015). *Prioritized Experience Replay*. arXiv:1511.05952.
- [4] van Hasselt, H., et al. (2016). *Deep Reinforcement Learning with Double Q-learning*. AAAI.
- [5] Mnih, V., et al. (2016). *Asynchronous Methods for Deep Reinforcement Learning*. ICML.